

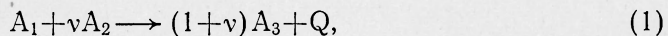
**ФОРМИРОВАНИЕ
НЕСТАЦИОНАРНОГО ДИФФУЗИОННОГО ФРОНТА ГОРЕНИЯ
ПРИ ВОСПЛАМЕНЕНИИ КАПЛИ ЖИДКОГО ТОПЛИВА**

B. N. Блошенко, A. Г. Мержанов, Н. И. Перегудов,
Б. И. Хайкин
(Москва)

Теория квазистационарного диффузионного горения капли жидкого топлива, созданная Г. А. Варшавским [1] и детально разработанная другими исследователями [2—4], хорошо подтверждается опытами, проведенными в лабораторных условиях. Однако эксперименты Изоды и Кумагая [5] показали, что горение капли в условиях невесомости (в отсутствии влияния естественной конвекции) не соответствует представлениям теории квазистационарного диффузионного горения. В этих условиях горение капли является нестационарным (отношение радиуса фронта пламени к радиусу капли меняется во времени). Как отмечалось в [6], опыты Изоды и Кумагая, проведенные практически в нулевом гравитационном поле, достаточно хорошо соответствуют условиям горения во многих реальных технических устройствах, поскольку в последних горят капли очень малых размеров (на порядок меньше, чем обычно используемые в лабораторных опытах). Для таких капель числа Грасгофа (пропорциональные кубу размера капли) очень малы и, следовательно, влияние естественной конвекции должно быть незначительным. Исследование нестационарного диффузионного горения проводилось также в ряде теоретических работ [6—8]. При этом исследовалось лишь движение уже сформированного нестационарного диффузионного фронта. Начальное же положение и начальная структура фронта или задавались произвольно [6], или не учитывались [7, 8], хотя они оказывают заметное влияние на процесс нестационарного горения [8]. Поэтому для более полного понимания процесса важно знать, каким образом в результате воспламенения происходит формирование нестационарного диффузионного фронта горения. Критические условия воспламенения капли жидкого топлива подробно исследованы в работе [9]. Целью настоящей работы является выяснение основных качественных закономерностей процесса образования нестационарного диффузионного фронта горения.

Постановка задачи

Будем считать, что в начальный момент времени капля жидкого топлива, способная испаряться, попадает в неограниченную газовую среду, содержащую окислитель. Реакцию между парами топлива и окислителем представим брутто-уравнением



где A — символы веществ, v — массовая стехиометрическая доля окислителя. Индексы 1, 2, 3 относятся к пару, окислителю и продукту реакции соответственно. Следует заметить, что в действительности реакция между парами органического топлива и окислителем протекает сложным образом, с образованием и участием в реакции промежуточных продуктов. Однако поскольку в работе рассматривается лишь тепловой механизм воспламенения и перехода воспламенения в диффузионное горение капли, который принципиально связан с наличием резкой экспонен-

циальной зависимости скорости химической реакции от температуры, разумно ограничиться простым уравнением химической реакции.

Примем, что процессы тепло- и массопереноса сферически симметричны. Это допущение, строго говоря, справедливо для капель, находящихся вне поля тяжести и не обтекаемых внешним газовым потоком, но оно, по-видимому, может быть принято как достаточное приближение в случае очень малых чисел Gr и Re .

Пренебрегая различием молекулярных весов и бинарных коэффициентов диффузии компонентов, можно записать систему уравнений, описывающую процесс воспламенения и горения капли:

$$\left. \begin{aligned} 0 \leq r < r_s : \quad c_k \rho_k \frac{\partial T}{\partial t} &= \lambda_k \frac{1}{r^2} \frac{\partial}{\partial r} \left(r^2 \frac{\partial T}{\partial r} \right); \\ r_s < r < \infty : \quad c_p \rho \frac{\partial T}{\partial t} &= \frac{1}{r^2} \frac{\partial}{\partial r} \left(\lambda r^2 \frac{\partial T}{\partial r} \right) - c_p v \rho \frac{\partial T}{\partial r} + Q K C_1^l C_2^m e^{-\frac{E}{RT}}, \\ \rho \frac{\partial C_1}{\partial t} &= \frac{1}{r^2} \frac{\partial}{\partial r} \left(D \rho r^2 \frac{\partial C_1}{\partial r} \right) - v \rho \frac{\partial C_1}{\partial r} - K C_1^l C_2^m e^{-\frac{E}{RT}}, \\ \rho \frac{\partial C_2}{\partial t} &= \frac{1}{r^2} \frac{\partial}{\partial r} \left(D \rho r^2 \frac{\partial C_2}{\partial r} \right) - v \rho \frac{\partial C_2}{\partial r} - v K C_1^l C_2^m e^{-\frac{E}{RT}}, \\ \frac{\partial \rho}{\partial t} &= -\frac{1}{r^2} \frac{\partial}{\partial r} (r^2 v \rho). \end{aligned} \right\} \quad (2)$$

Начальные и граничные условия запишем в следующем виде

$$\begin{aligned} t = 0, r < r_s : \quad T &= T_0; \quad t = 0 : \quad r_s = r_0; \\ t = 0, r > r_s \quad \left. \begin{aligned} t > 0, r \rightarrow \infty \end{aligned} \right\} \quad T &= T_\infty, \quad C_1 = 0, \quad C_2 = C_\infty, \quad v \rho = 0; \\ r = 0 : \quad \frac{\partial T}{\partial r} &= 0; \\ r = r_s, \quad t > 0 : \quad v \rho &= -\rho_k \left(1 - \frac{\rho}{\rho_k} \right) \frac{dr_s}{dt}, \\ (T)_{s=0} = (T)_{s+0}, \quad \lambda_k \left(\frac{\partial T}{\partial r} \right)_{s=0} &= \lambda \left(\frac{\partial T}{\partial r} \right)_{s+0} + L \rho_k \frac{dr_s}{dt}, \quad D \rho \frac{\partial C_1}{\partial r} + \\ + C_1 \rho_k \frac{dr_s}{dt} &= \rho_k \frac{dr_s}{dt}; \\ D \rho \frac{\partial C_2}{\partial r} + C_2 \rho_k \frac{dr_s}{dt} &= 0, \quad C_1 = \exp [-\mu L (T_* - T)/RT_* T]. \end{aligned} \right. \quad (3)$$

Здесь t — время, r — координата, v — скорость стефановского потока, T — температура, C_1, C_2 — относительная концентрация паров топлива и окислителя, r_0, r_s — начальный и текущий радиус капли, T_*, T_0 — температура кипения и начальная температура капли, ρ, c_p, λ — плотность, удельная теплоемкость и коэффициент теплопроводности газовой фазы, ρ_k, c_k, λ_k — плотность, удельная теплоемкость и коэффициент теплопроводности вещества капли, D — коэффициент диффузии, Q, L — тепловой эффект реакции и теплота испарения на единицу массы пара, l, m — порядок реакции по пару и окислителю, K — предэкспонент, зависящий от давления (для бимолекулярной реакции $K \sim P^2$), E — энергия активации, μ — молекулярный вес. Индексы s, ∞ характеризуют значение параметров на поверхности капли и вдали от нее.

Первое уравнение системы (2) — уравнение теплопроводности в капле, второе — в газовой среде, третье и четвертое — уравнение диффузии паров топлива и окислителя, последнее — уравнение сохранения полной массы. В уравнениях (2) и (3) учтен стефановский поток. Последнее из граничных условий (3) является уравнением Клаузиуса-Клапейрона.

Строго говоря, систему уравнений (2)–(3) необходимо дополнить уравнением движения (уравнением Эйлера). Однако при дозвуковых скоростях течения возникающие градиенты давления очень малы. В этом случае решением уравнения Эйлера с хорошим приближением является $P \approx \text{const} = P_\infty$ и, следовательно, уравнение состояния $\rho = P_\infty \mu / RT$ дает однозначную связь между плотностью и температурой в газовой среде. Отметим также, что произведение $D\rho$ не зависит от давления и сравнительно слабо зависит от температуры. В дальнейшем при расчетах зависимость $D\rho$ и λ — от температуры не учитывалась, а критерий Льюиса $Le = D\rho c_p / \lambda$ был принят равным единице.

Степень удаления от критических условий воспламенения

Решение системы уравнений (2) — (3) производилось численно с помощью ЭВМ. При этом использовались следующие безразмерные переменные: $\theta = E(T - T_\infty)/RT_\infty^2$; $\xi = r/r_0$; $Z_1 = C_1/C_{1s}^p$; $Z_2 = C_2/C_\infty$; $\tau = (\mu P_\infty D / \rho_k RT_\infty r_0^2) t$, где величина C_{1s}^p — концентрация паров топлива у поверхности капли в режиме равновесного испарения в инертную среду, т. е. при $K=0$ [10]. Она находится из соотношений

$$C_{1s}^p = \exp(\mu L / RT_s^p) \exp(-\mu L / RT_s^p); LC_{1s}^p / (1 - C_{1s}^p) = C_p (T_\infty - T_s^p), \quad (4)$$

в которые входит величина T_s^p , являющаяся температурой капли в режиме равновесного испарения (при $K=0$). Соотношения (4) можно рассматривать как формальное определение величины C_{1s}^p (исключая из них T_s^p), получим выражение, которое связывает C_{1s}^p с входящими в (2) — (3) параметрами.

Безразмерная форма уравнений (2) — (3) приведена в [9], где исследовались критические условия воспламенения капли. Всего в задачу входит тринадцать безразмерных параметров. Критические условия воспламенения в самом общем случае можно представить в виде некоторой зависимости безразмерного параметра

$$\delta = \frac{Q}{c_p} \cdot \frac{E}{R T_\infty^2} \cdot \frac{r_0^2 K}{D \rho_\infty} \cdot (C_{1s}^p)^l C_\infty^m \exp(-E/RT_\infty),$$

являющегося аналогом параметра Франк-Каменецкого в теории теплового взрыва [11], от остальных двенадцати параметров, входящих в безразмерную систему уравнений. Численные расчеты показали [9], что в критических условиях при заданных значениях термодинамических, теплофизических и кинетических характеристик (т. е. при заданных свойствах топлива и окружающей среды) связь между величинами¹ T_∞ , C_∞ , P_∞ , r_0 в критериальном виде с разумной точностью может быть представлена лишь зависимостью параметра δ от безразмерного параметра $\pi = \mu P_\infty / RT_\infty \rho_k$; зависимостью от остальных безразмерных параметров можно пренебречь. Этот вывод является следствием того, что параметр δ включает в себя самые главные зависимости скоростей

¹ В дальнейшем эти параметры будем называть внешними. Именно они (или некоторые из них) обычно варьируются при экспериментальном изучении процесса воспламенения и горения капли.

реакции и испарения от внешних параметров. Сравнительно сильная зависимость δ_{kp} от π (δ_{kp} растет с увеличением π) объясняется тем, что на процесс воспламенения существенное влияние оказывает нестационарность процессов тепло- и массопереноса в газовой фазе (параметр π , являющийся отношением плотностей газа и конденсированного вещества, стоит перед частными производными по времени в безразмерных уравнениях тепло- и массопереноса в газовой фазе).

Мерой удаления от критических условий воспламенения при изменении внешних параметров может служить величина δ/δ_{kp} , причем закономерности образования нестационарного диффузионного фронта и сама возможность его возникновения зависят от величины δ/δ_{kp} .

В критических условиях ($\delta/\delta_{kp} = 1$) к моменту воспламенения капля полностью испаряется [9]. Этот результат является следствием ограниченности количества вещества, первоначально содержащегося в капле, и нестационарности процессов тепло- и массопереноса в газовой фазе.

Таким образом, в критических условиях стадия диффузионного горения капли отсутствует. Расчеты показывают, что при малых удалениях от критических условий (δ/δ_{kp} немного больше единицы) на стадии воспламенения все еще происходит значительное испарение капли, особенно при повышенных давлениях. Лишь при больших удалениях от критических условий ($\delta/\delta_{kp} \gg 1$) масса капли в момент воспламенения мало отличается от первоначальной и ее испарение (сгорание) происходит в процессе диффузионного горения. Случай, в котором диффузионное горение капли выражено наиболее отчетливо, будет рассмотрен ниже.

Формирование нестационарного диффузионного фронта горения при больших удалениях от критических условий воспламенения

При заданных значениях термодинамических, теплофизических и кинетических параметров изменять величину отношения δ/δ_{kp} можно за счет изменения любого из внешних параметров ($r_0, T_\infty, C_\infty, P_\infty$). Наиболее сильно это отношение зависит от T_∞ . С целью получения более наглядной картины в дальнейшем все параметры, кроме T_∞ , выберем постоянными, а отношение δ/δ_{kp} будем изменять лишь за счет изменения T_∞ . Для расчетов выберем следующие значения параметров $v=1; L=238$ кал/г; $c_p=0,38$ кал/г·град; $Q=6695$ кал/г; $T^*=352^\circ\text{K}$; $E/R=25\ 200$ град $^{-1}$; $r_0^2 K/D\rho_\infty = 0,6 \cdot 10^{10}$; $l=m=1$; $Le=1^1$. $\rho_k=1$ г/см 3 ; $T_0=270^\circ\text{K}$; $\mu=30$ г/моль; $p=1$ атм=0,024 кал/см 3 ; $\lambda_k/\lambda=6$; $c_k/c_p=1$; $C_\infty=0,05$. Расчетное значение критической температуры для этих параметров $T_{\infty kp}=925^\circ\text{K}$ ($\delta_{kp}=0,12$). Проверочные расчеты показали, что качественная картина процесса, которая будет описана ниже, не меняется при варьировании исходных параметров в достаточно широком диапазоне. При расчетах всегда предполагалось, что начальная температура капли T_0 меньше температуры капли в режиме равновесного испарения T_s^p , где T_s^p определена соотношениями (4).

При значительных удалениях от критических условий процесс развивается следующим образом. После попадания капли в горячий газ в газовой фазе образуется максимум скорости тепловыделения и максимум температуры газа. По истечении некоторого промежутка времени оба максимума начинают расти и приближаться к капле². Картина дви-

¹ Значения этих параметров взяты из работы [12].

² В самые начальные моменты времени максимумы температуры газа и скорости тепловыделения движутся от капли. Однако величины максимумов и время этого движения малы, и в дальнейшем самые начальные моменты времени рассматриваться не будут.

жения максимумов температуры газа и скорости тепловыделения в безразмерных переменных показана на рис. 1 для $T_\infty = 1260^\circ\text{K}$ ($\delta/\delta_{\text{кр}} = 835$). На этом рисунке кривые 2 и 5 представляют собой зависимость от времени величины и положения в пространстве максимума безразмерной температуры газа θ (θ_m — величина максимума температуры газа θ ; $x_{m\theta} = \xi_{m\theta}/\xi_s$, где ξ_s — расстояние от максимума θ до центра капли; ξ_s — текущий радиус капли). Кривые 1 и 4 — зависимость от времени величины и положения в пространстве максимума безразмерной скорости тепловыделения $w = \delta Z_1 Z_2 \exp[\theta/(1+\beta\theta)]$ (w_m — величина максимума w ; $x_{mw} = \xi_{mw}/\xi_s$, где ξ_{mw} — расстояние от максимума w до центра капли). Рис. 1, 3 представляет собой зависимость от времени безразмерной скорости испарения ω .

(ξ_s — текущий радиус капли). Кривые 1 и 4 — зависимость от времени величины и положения в пространстве максимума безразмерной скорости тепловыделения $w = \delta Z_1 Z_2 \exp[\theta/(1+\beta\theta)]$ (w_m — величина максимума w ; $x_{mw} = \xi_{mw}/\xi_s$, где ξ_{mw} — расстояние от максимума w до центра капли). Рис. 1, 3 представляет собой зависимость от времени безразмерной скорости испарения.

Как видно из рисунка, максимум температуры газа первоначально находится дальше от поверхности капли, чем максимум скорости тепловыделения. В процессе роста и приближения максимумов θ и w к капле (убывающие ветви кривых 4 и 5) скорость перемещения максимума θ больше, чем w_m , так что расстояние между максимумами сокращается. Затем оба максимума останавливаются¹ (точки минимума на кривых 4 и 5) и начинают двигаться от капли (возрастающие ветви кривых 4 и 5). В процессе удаления θ_m и w_m от капли скорость перемещения θ_m меньше, чем w_m . Через некоторое время оба максимума практически совмещаются в пространстве и далее продолжают двигаться совместно с одинаковой скоростью. При движении от капли величина максимума скорости тепловыделения уменьшается (убывающая часть кривой 1), а величина максимума температуры газа продолжает расти, но скорость ее нарастания (часть кривой 2, расположенная правее точки перегиба) падает. Аналогично температуре изменяется и скорость испарения ω (кривая 3).

Отметим, что при больших удалениях от предела воспламенения за время, в течение которого происходит движение максимумов скорости тепловыделения и температуры газа по направлению к капле и от нее вплоть до совмещения в пространстве обоих максимумов, капля прогревается незначительно, а ее размер практически не меняется (величина ξ_s близка к единице).

Обсудим теперь причины, вызывающие описанную выше динамику процесса. С этой целью рассмотрим пространственное распределение (зависимость от координаты $x = \xi/\xi_s$) температуры газа θ , скорости тепловыделения w , а также концентрации пара Z_1 и окислителя Z_2 в последовательные моменты времени. Эти распределения показаны на рис. 2, $a - \delta$ (внизу каждого рисунка показано распределение температуры θ внутри капли. θ_* — безразмерная температура кипения, θ_0 — безразмерная начальная температура капли). Рис. 2, $a - \delta$ соответствует моментам времени, показанным на рис. 1 вертикальными пунктирными линиями $a - \delta$.

¹ Максимум скорости тепловыделения останавливается несколько раньше, чем максимум температуры газа.

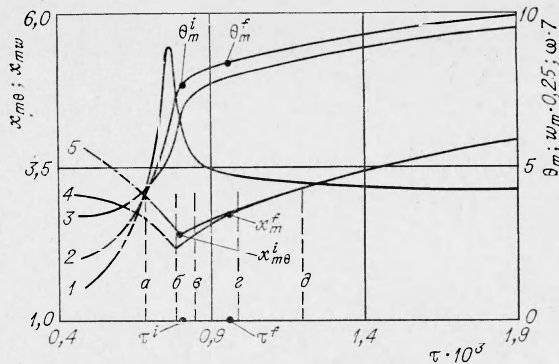


Рис. 1. Зависимость от времени величин:
1 — w_m ; 2 — θ_m ; 3 — ω ; 4 — x_{mw} ; 5 — $x_{m\theta}$.

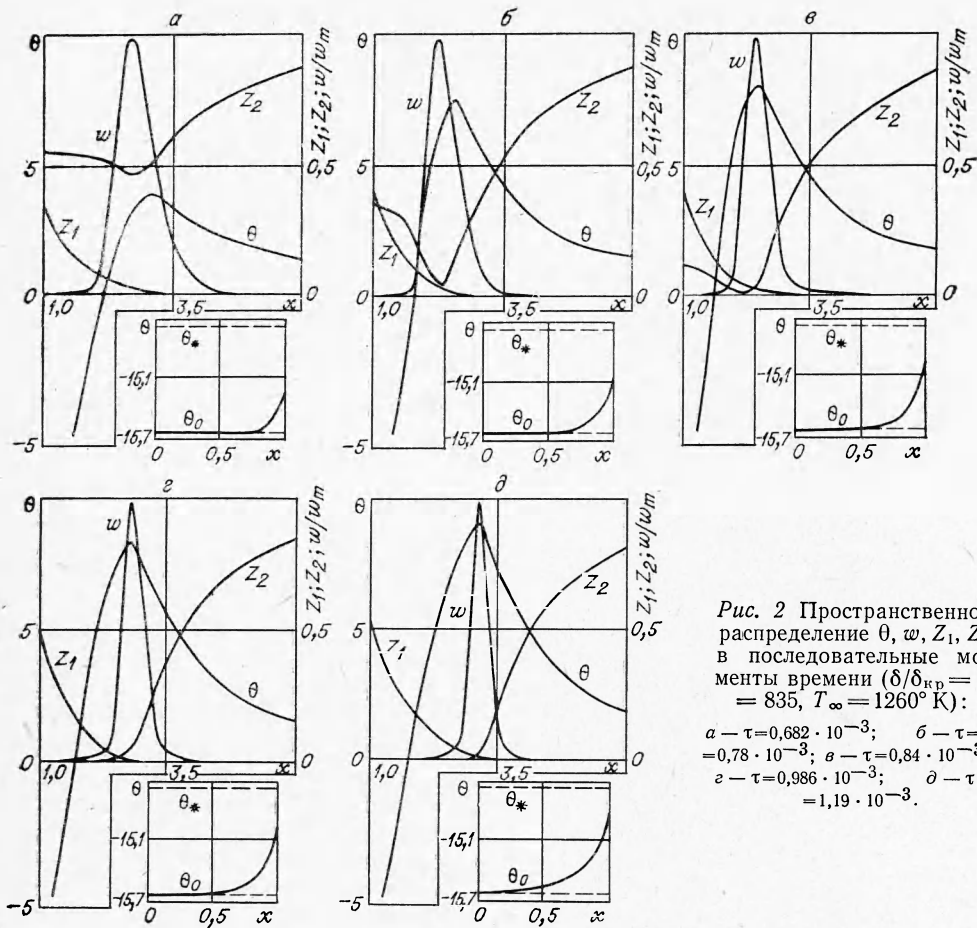


Рис. 2 Пространственное распределение θ , w , Z_1 , Z_2 в последовательные моменты времени ($\delta/\delta_{\text{нр}} = 835$, $T_\infty = 1260^\circ\text{K}$):

$\alpha - \tau = 0,682 \cdot 10^{-3}$; $\beta - \tau = 0,78 \cdot 10^{-3}$; $\gamma - \tau = 0,84 \cdot 10^{-3}$;
 $\delta - \tau = 0,986 \cdot 10^{-3}$; $\varepsilon - \tau = 1,19 \cdot 10^{-3}$.

Как уже отмечалось, на начальных этапах движения максимумов θ и w максимум температуры газа находится дальше от поверхности капли. Это связано с тем, что на начальных этапах пары топлива не успевают полностью выгорать в зоне максимального тепловыделения (для этого скорость реакции еще не достаточно велика) и проникают в более удаленные области пространства, где температура среды практически равна температуре газа на больших расстояниях от поверхности капли T_∞ . В этих областях достаточно лишь незначительного выделения тепла за счет реакций, чтобы произошел перегрев среды и образовался максимум температуры газа. В дальнейшем, вследствие выгорания пара, проникшего за пределы зоны тепловыделения, этот максимум увеличивается и приближается к капле, а на кривой распределения концентрации окислителя Z_2 образуется «прорыв» в окрестности максимума w (рис. 2, α). Образование «прорыва» является признаком начавшегося выгорания окислителя в зоне реакции (в зоне тепловыделения). Поскольку скорость реакции экспоненциально зависит от температуры, то увеличение последней, обусловленное уменьшением расстояния между максимумами θ и w , приводит к резкому возрастанию скорости реакции, и диффузия не успевает поставлять окислитель в зону реакции, где происходит его быстрое выгорание. При этом в пространстве между зоной реакции и поверхностью капли, где температура и скорость реакции невелики, остается еще значительное количество окислителя, постепенно уменьшающееся вследствие диффузии в зону реакции (рис. 2, β , γ).

В процессе выгорания окислителя скорость тепловыделения сначала возрастает, а затем, когда концентрация окислителя в зоне реакции

сильно уменьшается, начинает падать. Выгорание окислителя приводит также к уменьшению скорости роста максимума температуры газа — самоускоряющийся разогрев ($d^2\theta_m/d\tau^2 > 0$) сменяется медленным нарастанием температуры ($d^2\theta_m/d\tau^2 < 0$). Аналогично изменяется и скорость испарения ω (см. рис. 1).

Рис. 2, б, в соответствуют промежутку времени, в течение которого происходит остановка и смена направления движения максимумов θ и ω . Причиной остановки являются возрастающие затраты тепла на испарение, которые препятствуют дальнейшему приближению максимумов θ и ω к капле. Последующее увеличение скорости испарения вызывает перемещение зоны реакции от капли в область пространства, более богатую окислителем.

Максимумы θ и ω совмещаются и начинают двигаться с одинаковой скоростью к тому моменту времени, когда происходит практически полное исчезновение окислителя в пространстве между зоной реакции и поверхностью капли (рис. 2, г). К этому моменту времени основные элементы структуры диффузационного фронта оказываются уже сформированными. Действительно, окислитель и пар разделены в пространстве, имеется сравнительно узкая зона тепловыделения (реакции), в которой концентрации реагентов малы. В дальнейшем капля продолжает постепенно прогреваться, скорость испарения возрастает и диффузационный фронт движется от капли, стремясь к своему квазистационарному положению (рис. 2, д).

Предыдущее рассмотрение показывает, что переход от воспламенения к нестационарному диффузионному горению происходит, строго говоря, непрерывным образом. Однако можно выделить отдельные стадии процесса. Действительно, на кривых рис. 1 имеется ряд характерных точек максимума и минимума на кривых $\omega_m(\tau)$, $x_{m\theta}(\tau)$ и $x_{mw}(\tau)$; точки перегиба на кривых $\theta_m(\tau)$ и $\omega(\tau)$, которые появляются на кривых в момент перехода из кинетической области протекания реакции в диффузионную (см. рис. 2), причем различие во временах, соответствующих этим точкам, невелико. Это подтверждается расчетами, проведенными при других значениях исходных параметров. Учитывая, что по самому смыслу процесс воспламенения связан с протеканием реакции в кинетическом режиме [11], любую из указанных точек можно было бы принять за окончание стадии воспламенения. В дальнейшем будем считать, что стадия воспламенения заканчивается в момент наибольшего приближения к капле максимума температуры газа (момент времени, соответствующий минимуму на рис. 1, 5). При таком определении на стадии воспламенения происходит приближение максимума температуры газа к капле, а удаление максимумов θ и ω от капли (или точнее рост величин $x_{m\theta}$ и x_{mw}) соответствует последующим стадиям процесса. Величины, относящиеся к минимуму на кривой $x_{m\theta}(\tau)$, будем обозначать верхним индексом i (например, величины τ^i , $x_{m\theta}^i$, θ_m^i на рис. 1).

Как уже отмечалось, нестационарный диффузионный фронт можно считать сформированным, когда максимумы θ и ω практически совмещаются в пространстве. Следует, однако, отметить, что точное совпадение максимумов θ и ω никогда не достигается. Даже в режиме квазистационарного горения имеется различие величин $x_{m\theta}$ и x_{mw} , хотя и чрезвычайно малое. Поэтому момент завершения стадии формирования нестационарного фронта может быть определен только условно, как момент времени, когда отношение $(x_{m\theta} - x_{mw})/x_{m\theta}$ становится меньше некоторой заранее заданной малой величины ϵ . В наших расчетах ϵ было выбрано равным 0,05. Величины, соответствующие завершению стадии формирования нестационарного диффузионного фронта горения, далее будем обозначать верхним индексом f (например, величины τ^f , x_m^f , θ_m^f на рис. 1).

Некоторые количественные характеристики стадии воспламенения и формирования нестационарного диффузионного фронта горения

Качественная картина развития процесса, показанная на рис. 1 и 2, не меняется при изменении отношения δ/δ_{kp} . Однако количественные характеристики процесса могут изменяться значительно. На рис. 3 показаны значения некоторых величин при различных удалениях от предела воспламенения (исходные параметры указаны в начале этого раздела; T_∞ изменялось в пределах от 1150 до 1450°К, чему соответствует изменение δ/δ_{kp} , от 143,5 до 9491,24). Из рис. 3 следует, что с ростом отношения δ/δ_{kp} (с ростом T_∞) уменьшаются времена (кривые 3 и 4) и расстояния от поверхности капли (кривые 1 и 2), на которых протекают стадии воспламенения и формирования диффузионного фронта горения. При этом уменьшение времен происходит очень резко, а расстояния уменьшаются относительно слабо. Наиболее резко эти величины изменяются при приближении к пределу воспламенения. Время τ^i уменьшается несколько быстрее, чем τ^f , так что с ростом δ/δ_{kp} доля времени, приходящаяся на стадию воспламенения, в общем времени нестационарного процесса уменьшается¹.

По мере удаления от предела воспламенения уменьшаются также величины θ_m^i и θ_m^f , т. е. разогрев газа уменьшается в моменты времени, соответствующие завершению стадий воспламенения и формирования нестационарного диффузионного фронта (рис. 3, 5, 6). Причина падения θ_m^i и θ_m^f заключается в том, что по мере роста δ/δ_{kp} к моментам времени $\tau=\tau^i$ и $\tau=\tau^f$ вещества капли прогревается во все меньшей степени, а тепловой поток, идущий на прогрев капли, увеличивается. Эти соображения подтверждают рис. 4, который относится к моменту времени $\tau=\tau^i$ (расчеты показывают, что и при $\tau=\tau^f$ качественная картина имеет аналогичный вид). На рис. 4 показано распределение относительного перепада температур внутри капли $(\theta-\theta_0)/(\theta_*-\theta_0)$. На рис. 5 показана зависимость от δ/δ_{kp} величины безразмерного градиента температуры на внутренней стороне поверхности капли (кривая 1) и относительного разогрева поверхности капли (кривая 2). Из рисунков видно, что с ростом δ/δ_{kp} к моменту завершения стадии воспламенения прогревается все более узкий слой вблизи поверхности капли. При этом температура в центре капли практически равна T_0 , а температура поверхности капли существенно меньше T_* . С ростом δ/δ_{kp} температура поверхности падает, а тепловой поток, идущий на прогрев капли, возрастает.

В заключение отметим, что изучение стадии нестационарного диффузионного горения с учетом начального положения и структуры фронта представляет значительный самостоятельный интерес и не является целью настоящей работы. Заметим лишь, что предварительные расчеты показывают, что при повышенных давлениях, а также при небольших тепловых эффектах реакции выгорание (испарение) капли может происходить в основном на стадии нестационарного диффузионного горения. При не очень высоких давлениях процессы тепло- и массопереноса в газовой фазе на этой стадии можно приближенно считать квазистационарными²; нестационарность диффузионного горения обусловлена нестационарностью процесса прогрева капли.

¹ При малых удалениях от критических условий воспламенения основная доля времени всего процесса приходится на стадию воспламенения [9].

² Это приближение недопустимо при изучении предыдущих стадий процесса.

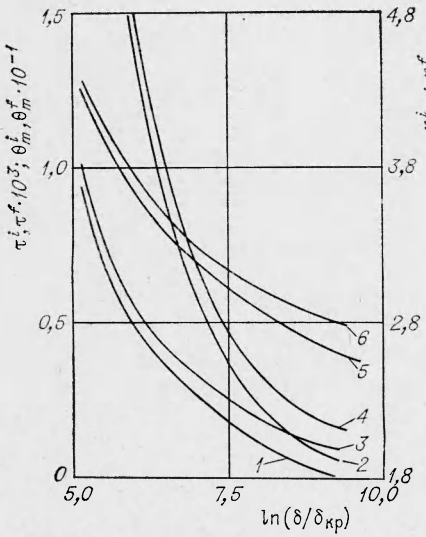


Рис. 3. Зависимость от δ/δ_{kp} величин:

- 1 — $x_m^i = \xi_m^i / \xi_s$;
- 2 — $x_m^f = \xi_m^f / \xi_s$;
- 3 — τ^i ;
- 4 — τ^f ;
- 5 — θ_m^i ;
- 6 — θ_m^f .

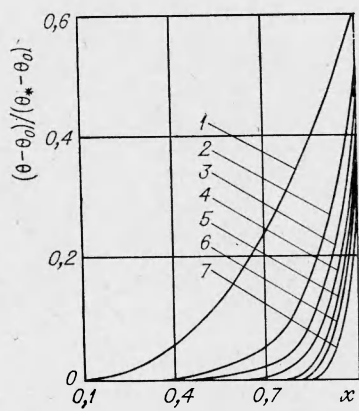


Рис. 4. Распределение температуры внутри капли в момент времени $\tau = \tau^i$ при различных значениях δ/δ_{kp} :

- 1 — $\delta/\delta_{kp} = 143,3$ ($T_\infty = 1150^\circ K$);
- 2 — $\delta/\delta_{kp} = 336,6$ ($T_\infty = 1200^\circ K$);
- 3 — $\delta/\delta_{kp} = 834,7$ ($T_\infty = 1260^\circ K$);
- 4 — $\delta/\delta_{kp} = 1506,2$ ($T_\infty = 1300^\circ K$);
- 5 — $\delta/\delta_{kp} = 2919,4$ ($T_\infty = 1350^\circ K$);
- 6 — $\delta/\delta_{kp} = 5383$ ($T_\infty = 1400^\circ K$);
- 7 — $\delta/\delta_{kp} = 9491,2$ ($T_\infty = 1450^\circ K$).

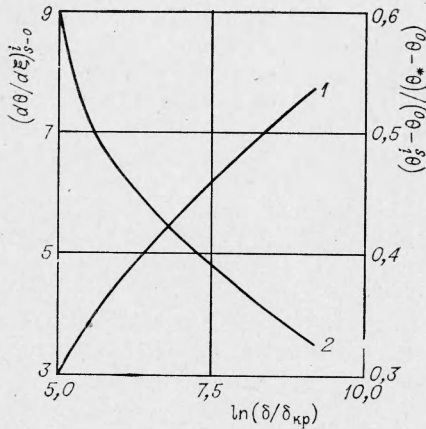


Рис. 5. Зависимость безразмерного градиента температуры от δ/δ_{kp} ($\delta/\delta_{kp} = 144 \div 9490$; $T_\infty = 1150 \div 1450^\circ K$).

- 1 — $(d\theta/d\xi_s)_s=0^i$;
- 2 — $(\theta_s^i - \theta_0) / (\theta_* - \theta_0)$.

Авторы выражают благодарность Н. А. Белкиной за помощь в оформлении рисунков.

Поступила в редакцию
13/VII 1972

ЛИТЕРАТУРА

1. Г. А. Варшавский. Тр. БНТ НКАП, № 6. М., 1945.
2. Д. Сполдинг. Сб. «Вопросы горения и детонационных волн», М., Оборонгиз, 1958.
3. Г. Годсейв. Сб. «Вопросы горения и детонационных волн», М., Оборонгиз, 1958.
4. Ф. А. Вильямс. Теория горения. М., «Наука», 1971.
5. Изода, Кумагай. Вопросы горения. Матер. VI и VII международных симпозиумов по горению. Пер. с англ. Под ред. С. А. Гольденберга. М., 1963.
6. S. Kotake, T. Okazaki. International Journal of Heat and Mass Transfer, 1969, **12**, 5.
7. A. S. M. Niguzzaman, J. M. Beeg. Combust. Science and Technology, 1971, 3, 17—24.
8. A. B. Hedlej, A. S. M. Niguzzaman. Prog. Review Journal of the institute of Tuel, 1971, **XLIV**, 360.
9. В. Н. Блошенко, А. Г. Мережанов и др. «Горение и взрыв». Матер. Третьего Всесоюзного симпозиума по горению и взрыву. М., «Наука», 1972.
10. Ю. М. Григорьев, Б. И. Хайкин и др. ЖФХ, 1970, **XIV**, 3.
11. Д. А. Франк-Каменецкий. Диффузия и теплопередача в химической кинетике. М., «Наука», 1967.
12. C. E. Polymenopoulos, R. L. Peskin. Combust. Flame, 1969, **13**, 166—172.

УДК 536.46-

СПЕКТРОСКОПИЧЕСКИЕ ИССЛЕДОВАНИЯ ЗОН ГОРЕНИЯ ФАКЕЛА ПЛАМЕНИ КОНДЕНСИРОВАННЫХ СИСТЕМ

В. М. Мальцев, А. Г. Стасенко, В. А. Селезнев,
П. Ф. Похил
(Москва)

Спектроскопические исследования по идентификации и количественной оценке промежуточных продуктов в процессе горения оказали существенное влияние на развитие теории цепных реакций и химической кинетики [1—3]. В настоящее время спектроскопические исследования представляют большой интерес в связи с изучением механизма реакций в факеле пламени при горении конденсированных систем.

Настоящая работа ставила перед собой задачу идентификации спектра излучения факела пламени конденсированных систем, установления распределения по высоте факела пламени обнаруженных продуктов, а также по возможности выявление степени их участия в процессе горения.

Исследовались спектры излучения факела пламени гексогена, модельного смесевого состава на основе перхлората аммония с полиметилметакрилатом, нитроклетчатки. Горение образцов исследуемого состава изучалось в бомбе постоянного давления в интервале от 1 до 40 атм в среде азота и аргона.

Для оценки характера горения (размеров зон горения, структуры факела) производилось фотографирование горящего образца. Исследование пламени, образующегося при горении, производилось двумя спектральными методами — фотографическим и фотоэлектрическим [4]. Фотографический метод наиболее полезен для получения общей картины спектра при измерениях длин волн и при идентификации спектров. Фотоэлектрический метод применялся в основном для количественных измерений интенсивности спектра.